

Corrigé de la série N°5

**Exercice 1 :**

1/ Calcul et représentation des courbes, de rosé, d'ébullition, de  $P_1$  et  $P_2$  en fonction de  $x_1$ .

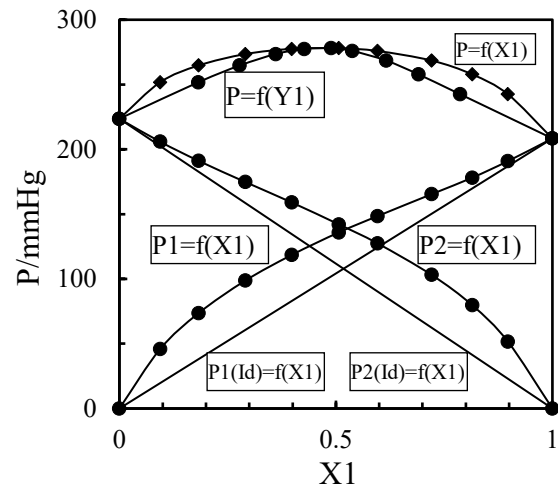
$$P_1(Exp) = Y_1 P \quad \text{et} \quad P_2(Exp) = Y_2 P$$

| $X_1$ | $Y_1$ | $P/mmHg$ | $P_1/mmHg$ | $P_2/mmHg$ |
|-------|-------|----------|------------|------------|
| 0     | 0     | 223.6    | 0          | 223.6      |
| 0.094 | 0.182 | 251.7    | 45.8       | 205.9      |
| 0.183 | 0.278 | 264.7    | 73.6       | 191.1      |
| 0.291 | 0.361 | 273.5    | 98.7       | 174.8      |
| 0.398 | 0.427 | 277.5    | 118.5      | 159.0      |
| 0.507 | 0.489 | 278      | 135.9      | 142.1      |
| 0.596 | 0.538 | 275.9    | 148.4      | 127.5      |
| 0.721 | 0.616 | 268.5    | 165.4      | 103.1      |
| 0.815 | 0.691 | 257.8    | 178.1      | 79.7       |
| 0.897 | 0.787 | 242.5    | 190.8      | 51.7       |
| 1     | 1     | 208.4    | 208.4      | 0          |

2/  $P_1$  et  $P_2$  en fonction de  $x_1$  en supposant que le mélange est idéal

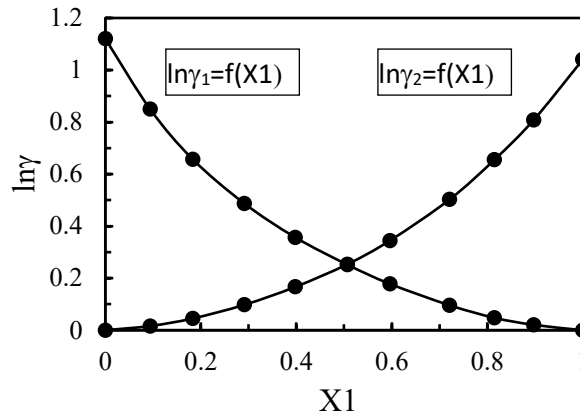
$$P_1(Id) = P_1^\circ X_1 \quad \text{et} \quad P_2(Id) = P_2^\circ X_2$$

| $X_1$ | $P_1(Id)/mmHg$ | $P_2(Id)/mmHg$ |
|-------|----------------|----------------|
| 0     | 0              | 223.6          |
| 0.094 | 19.6           | 202.6          |
| 0.183 | 38.1           | 182.7          |
| 0.291 | 60.6           | 158.5          |
| 0.398 | 82.9           | 134.6          |
| 0.507 | 105.7          | 110.2          |
| 0.596 | 124.2          | 90.3           |
| 0.721 | 150.3          | 62.4           |
| 0.815 | 169.8          | 41.4           |
| 0.897 | 186.9          | 23.0           |
| 1     | 208.4          | 0              |



3/ Les valeurs de  $\ln\gamma_1$  et  $\ln\gamma_2$  et leurs courbes en fonction de  $x_1$ .

| X1    | $\ln\gamma_1$ | $\ln\gamma_2$ |
|-------|---------------|---------------|
| 0     | 1.120         | 0.000         |
| 0.094 | 0.849         | 0.016         |
| 0.183 | 0.657         | 0.045         |
| 0.291 | 0.487         | 0.097         |
| 0.398 | 0.357         | 0.167         |
| 0.507 | 0.252         | 0.254         |
| 0.596 | 0.178         | 0.344         |
| 0.721 | 0.096         | 0.502         |
| 0.815 | 0.048         | 0.655         |
| 0.897 | 0.021         | 0.808         |
| 1     | 0.000         | 1.040         |



4/ Calcul et représentation de  $g^E/(x_1x_2RT)=f(x_1)$  à partir des valeurs expérimentales

$$g^E/(x_1x_2RT)=(1/x_1x_2)(x_1 \ln\gamma_1 + x_2 \ln\gamma_2)$$

Expressions de  $\ln\gamma_1$  et  $\ln\gamma_2$  selon le modèle de Margules :

$$\ln\gamma_1 = [B + 2(A - B)x_1]x_2^2$$

$$\ln\gamma_2 = [A + 2(B - A)x_2]x_1^2$$

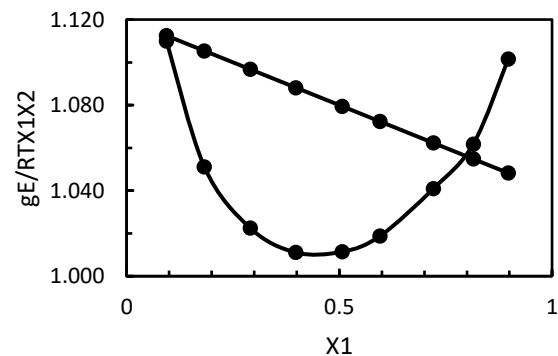
$$B = \lim_{x_1 \rightarrow 0} \ln\gamma_1 = \ln\gamma_1^\infty \quad A = \lim_{x_2 \rightarrow 0} \ln\gamma_2 = \ln\gamma_2^\infty$$

A partir du graphe  $\ln\gamma_1=f(x_1)$  on détermine B par extrapolation à  $x_1$  tend vers zéro ( $B=1.12$ )

A partir du graphe  $\ln\gamma_2=f(x_1)$  on détermine A par extrapolation à  $x_1$  tend vers un ( $A=1.04$ )

Calcul et représentation de  $g^E/(x_1x_2RT) = Ax_1 + Bx_2$  (Modèle de Margules)

| X1    | $g^E(\text{Exp})/RTX_1X_2$ | $g^E(\text{Mar})/RTX_1X_2$ |
|-------|----------------------------|----------------------------|
| 0.094 | 1.110                      | 1.112                      |
| 0.183 | 1.051                      | 1.105                      |
| 0.291 | 1.022                      | 1.097                      |
| 0.398 | 1.011                      | 1.088                      |
| 0.507 | 1.011                      | 1.079                      |
| 0.596 | 1.019                      | 1.072                      |
| 0.721 | 1.041                      | 1.062                      |
| 0.815 | 1.062                      | 1.055                      |
| 0.897 | 1.102                      | 1.048                      |



On remarque que la courbe calculée à partir des valeurs expérimentales est totalement différente de celle calculée avec le modèle de Margules, ce qui veut dire que ce modèle n'est pas adéquat à ce mélange.

## Exercice 2 :

1/ Calcul du diagramme d'ELVT du mélange dioxane (1) + oxane (2) avec les quatre modèle :

A/ Modèle de Van Laar

- Détermination des paramètres A et B

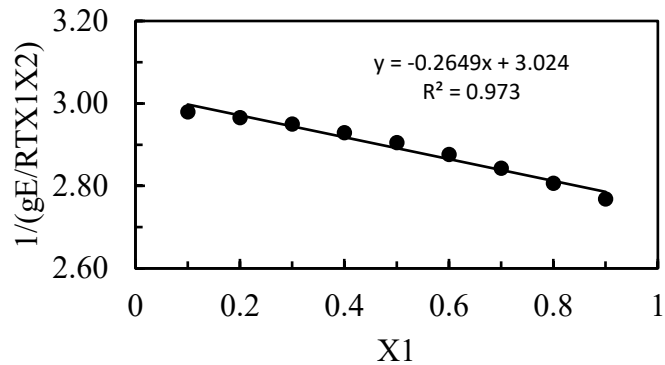
$$g^E/RT = ABx_1x_2/(Ax_1+Bx_2)$$

$$g^E/RTx_1x_2 = AB/(Ax_1+Bx_2) = 1/((1/B)x_1 + (1/A)x_2) = 1/((1/B - 1/A)x_1 + (1/A))$$

$$1/(g^E/RTx_1x_2) = (1/B - 1/A)x_1 + (1/A)$$

Calcul et représentation de  $1/(g^E/RTx_1x_2) = f(x_1)$  qu'est une droite de pente  $(1/B - 1/A)$  et de l'ordonnée à l'origine  $(1/A)$

| X1  | 1/(g <sup>E</sup> /RTX <sub>1</sub> X <sub>2</sub> ) |
|-----|--|
| 0.1 | 2.98   |
| 0.2 | 2.97   |
| 0.3 | 2.95   |
| 0.4 | 2.93   |
| 0.5 | 2.90   |
| 0.6 | 2.88   |
| 0.7 | 2.84   |
| 0.8 | 2.81   |
| 0.9 | 2.77   |



A partir du graphe  $(1/B - 1/A) = -0.2649$  et  $(1/A) = 3.024$

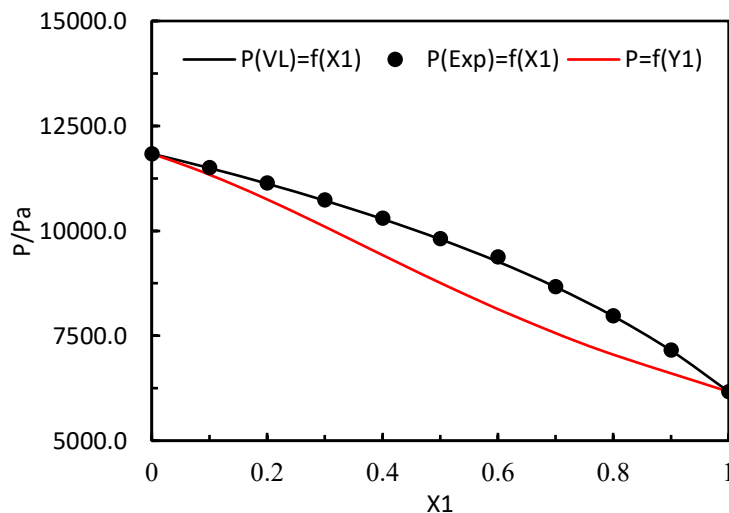
Implique  $A = 0.33$  et  $B = 0.36$

Selon le modèle de Van Laar :  $\ln\gamma_1 = A \left( \frac{Bx_2}{Ax_1+Bx_2} \right)^2$  et  $\ln\gamma_2 = B \left( \frac{Ax_1}{Ax_1+Bx_2} \right)^2$

- Calcul de  $P = f(x_1, y_1)$ ,  $P = P_1 + P_2$  avec  $P_1 = P_1^\circ x_1 \gamma_1$  et  $P_2 = P_2^\circ x_2 \gamma_2$ ,  $y_1 = \frac{P_1}{P}$

| X1  | P(Exp)/Pa | $\gamma_1$ | $\gamma_2$ | P1/Pa  | P2/Pa   | P(VL)/Pa | Y1   |
|-----|-----------|------------|------------|--------|---------|----------|------|
| 0   | 11838     | 1.391      | 1.000      | 0.0    | 11838.0 | 11838.0  | 0    |
| 0.1 | 11506     | 1.312      | 1.003      | 809.5  | 10687.0 | 11496.5  | 0.07 |
| 0.2 | 11139     | 1.244      | 1.013      | 1534.7 | 9589.7  | 11124.4  | 0.14 |
| 0.3 | 10737     | 1.185      | 1.029      | 2193.5 | 8527.4  | 10720.9  | 0.20 |
| 0.4 | 10298     | 1.136      | 1.053      | 2801.7 | 7480.4  | 10282.1  | 0.27 |
| 0.5 | 9815      | 1.094      | 1.086      | 3373.9 | 6427.0  | 9800.9   | 0.34 |
| 0.6 | 9378      | 1.060      | 1.128      | 3923.8 | 5342.5  | 9266.2   | 0.42 |
| 0.7 | 8673      | 1.034      | 1.182      | 4464.7 | 4197.5  | 8662.2   | 0.52 |
| 0.8 | 7977      | 1.015      | 1.249      | 5009.7 | 2956.8  | 7966.6   | 0.63 |
| 0.9 | 7158      | 1.004      | 1.332      | 5572.7 | 1576.3  | 7149.0   | 0.78 |
| 1   | 6168      | 1.000      | 1.433      | 6168.0 | 0.0     | 6168.0   | 1    |

Le diagramme d'ELV selon le modèle de Van Laar



B/ Modèle de Margules

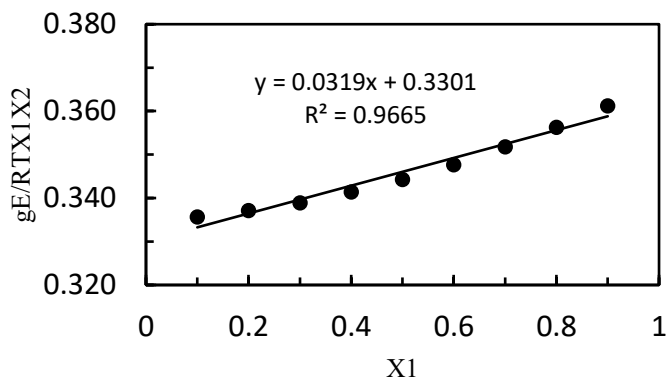
- Détermination des paramètres A et B

$$g^E/RT = x_1x_2(Ax_1+Bx_2)$$

$$g^E/RTx_1x_2 = Ax_1+Bx_2 = (A-B)x_1+B$$

Calcul et représentation de  $g^E/RTx_1x_2=f(x_1)$  qu'est une droite de pente (A-B) et de l'ordonnée à l'origine B

| X1  | gE/RTX1X2 |
|-----|-----------|
| 0.1 | 0.336     |
| 0.2 | 0.337     |
| 0.3 | 0.339     |
| 0.4 | 0.341     |
| 0.5 | 0.344     |
| 0.6 | 0.348     |
| 0.7 | 0.352     |
| 0.8 | 0.356     |
| 0.9 | 0.361     |



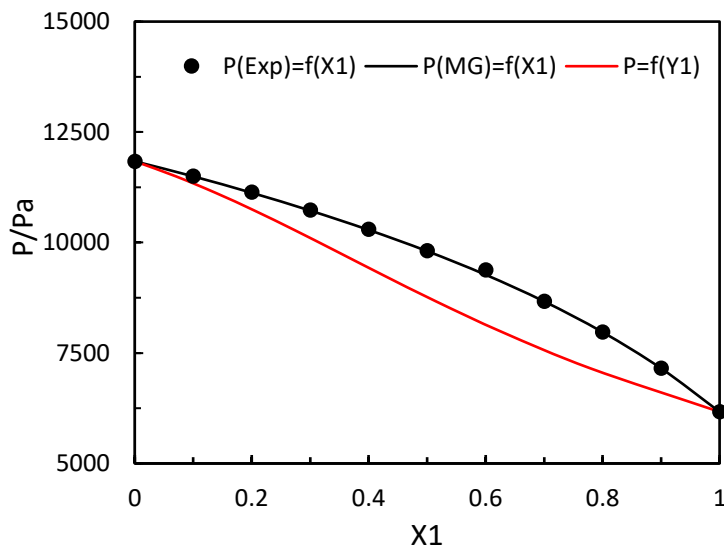
A partir du graphe (A-B)=0.0319 et B=0.3301 Implique A=0.362

Selon le modèle de Van Laar :  $\ln\gamma_1 = [B + 2(A - B)x_1]x_2^2$  et  $\ln\gamma_2 = [A + 2(B - A)x_2]x_1^2$

- Calcul de  $P=f(x_1,y_1)$ ,  $P = P_1 + P_2$  avec  $P_1 = P_1^0x_1\gamma_1$  et  $P_2 = P_2^0x_2\gamma_2$ ,  $y_1 = \frac{P_1}{P}$

| X1  | P(Exp)/Pa | $\gamma_1$ | $\gamma_2$ | P1/Pa  | P2/Pa   | P(MG)/Pa | Y1   |
|-----|-----------|------------|------------|--------|---------|----------|------|
| 0   | 11838     | 1.391      | 1.000      | 0.0    | 11838.0 | 11838.0  | 0    |
| 0.1 | 11506     | 1.313      | 1.003      | 810.0  | 10686.7 | 11496.7  | 0.07 |
| 0.2 | 11139     | 1.245      | 1.013      | 1536.3 | 9588.9  | 11125.2  | 0.14 |
| 0.3 | 10737     | 1.187      | 1.029      | 2195.8 | 8526.7  | 10722.4  | 0.20 |
| 0.4 | 10298     | 1.137      | 1.053      | 2804.2 | 7480.4  | 10284.6  | 0.27 |
| 0.5 | 9815      | 1.095      | 1.086      | 3376.1 | 6428.2  | 9804.3   | 0.34 |
| 0.6 | 9378      | 1.061      | 1.129      | 3925.5 | 5345.0  | 9270.5   | 0.42 |
| 0.7 | 8673      | 1.034      | 1.183      | 4465.7 | 4201.1  | 8666.8   | 0.52 |
| 0.8 | 7977      | 1.015      | 1.250      | 5010.2 | 2960.6  | 7970.8   | 0.63 |
| 0.9 | 7158      | 1.004      | 1.334      | 5572.8 | 1579.0  | 7151.7   | 0.78 |
| 1   | 6168      | 1.000      | 1.436      | 6168.0 | 0.0     | 6168.0   | 1    |

Le diagramme d'ELV selon le modèle de Margules



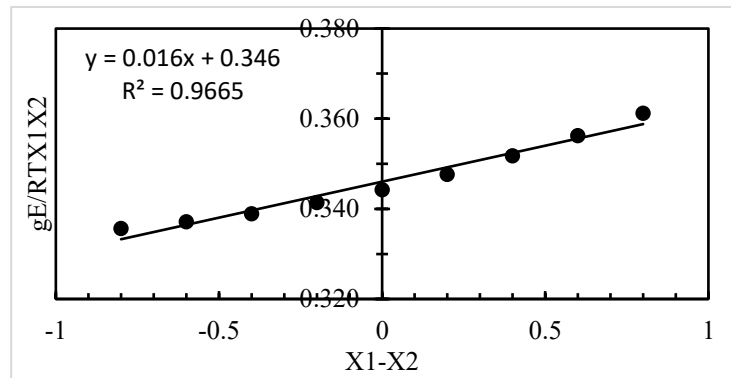
C/ Modèle de Redlich-Kister à deux paramètres

- Détermination des paramètres A et B

$$g^E/RT = x_1x_2(A+B(x_1-x_2))$$

$$g^E/RTx_1x_2 = A+B(x_1-x_2)$$

| X1-X2 | gE/RTX1X2 |
|-------|-----------|
| -0.8  | 0.336     |
| -0.6  | 0.337     |
| -0.4  | 0.339     |
| -0.2  | 0.341     |
| 0     | 0.344     |
| 0.2   | 0.348     |
| 0.4   | 0.352     |
| 0.6   | 0.356     |
| 0.8   | 0.361     |



A partir du graphe A=0.346 et B=0.016

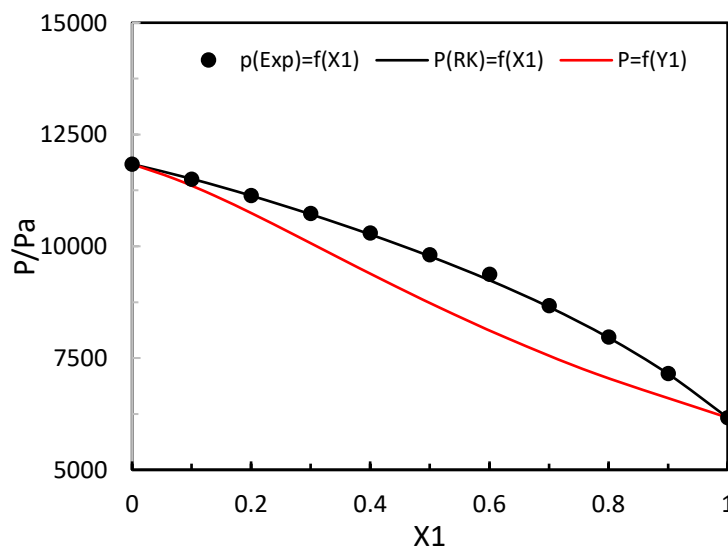
Dans le modèle de Redlich-Kister :

$$\ln \gamma_1 = [A + 3B - 4Bx_2]x_2^2 \text{ et } \ln \gamma_2 = [A - 3B + 4Bx_1]x_1^2$$

- Calcul de  $P=f(x_1, y_1)$ ,  $P = P_1 + P_2$  avec  $P_1 = P_1^\circ x_1 \gamma_1$  et  $P_2 = P_2^\circ x_2 \gamma_2$ ,  $y_1 = \frac{P_1}{P}$

| X1  | P(Exp)/Pa | $\gamma_1$ | $\gamma_2$ | P1/Pa  | P2/Pa   | P(RK)/Pa | Y1   |
|-----|-----------|------------|------------|--------|---------|----------|------|
| 0   | 11838     | 1.436      | 1.000      | 0.0    | 11838.0 | 11838.0  | 0    |
| 0.1 | 11506     | 1.334      | 1.003      | 822.7  | 10686.7 | 11509.4  | 0.07 |
| 0.2 | 11139     | 1.250      | 1.013      | 1542.5 | 9588.9  | 11131.4  | 0.14 |
| 0.3 | 10737     | 1.183      | 1.029      | 2188.8 | 8526.6  | 10715.4  | 0.20 |
| 0.4 | 10298     | 1.129      | 1.053      | 2784.8 | 7480.2  | 10265.1  | 0.27 |
| 0.5 | 9815      | 1.086      | 1.086      | 3349.2 | 6428.0  | 9777.2   | 0.34 |
| 0.6 | 9378      | 1.053      | 1.129      | 3897.5 | 5344.8  | 9242.3   | 0.42 |
| 0.7 | 8673      | 1.029      | 1.183      | 4442.6 | 4201.0  | 8643.6   | 0.51 |
| 0.8 | 7977      | 1.013      | 1.250      | 4996.1 | 2960.5  | 7956.6   | 0.63 |
| 0.9 | 7158      | 1.003      | 1.334      | 5568.1 | 1579.0  | 7147.1   | 0.78 |
| 1   | 6168      | 1.000      | 1.436      | 6168.0 | 0.0     | 6168.0   | 1    |

Le diagramme d'ELV selon le modèle de Redlich-Kister



D/ Modèle de Réseau rigide

- Calcul du paramètre  $g_{12}/RT$

$$g^E/RT = x_1 \ln \varphi_1/x_1 + x_2 \ln \varphi_2/x_2 + [(x_1x_2q_1q_2)/(x_1q_1 + x_2q_2)]g_{12}/R$$

$$g^E/RT = g_{Comb}^E/RT + \frac{q_1q_2x_1x_2}{q_1x_1+q_2x_2}g_{12}/RT$$

$$g_{Comb}^E/RT = x_1 \ln \frac{\varphi_1}{x_1} + x_2 \ln \frac{\varphi_2}{x_2}$$

$$g_{12}/RT = \frac{q_1x_1+q_2x_2}{q_1q_2x_1x_2}(g^E/RT - g_{Comb}^E/RT)$$

| X1            | gE/J/MOL | $\varphi_1$ | $\varphi_2$ | gE/RT(SA) | g12/RT |
|---------------|----------|-------------|-------------|-----------|--------|
| 0.1           | 76.1     | 0.089       | 0.911       | -0.0007   | 0.161  |
| 0.2           | 135.9    | 0.180       | 0.820       | -0.0013   | 0.160  |
| 0.3           | 179.3    | 0.274       | 0.726       | -0.0017   | 0.159  |
| 0.4           | 206.4    | 0.370       | 0.630       | -0.0019   | 0.158  |
| 0.5           | 216.8    | 0.468       | 0.532       | -0.0020   | 0.158  |
| 0.6           | 210.2    | 0.569       | 0.431       | -0.0019   | 0.158  |
| 0.7           | 186.1    | 0.673       | 0.327       | -0.0017   | 0.158  |
| 0.8           | 143.6    | 0.779       | 0.221       | -0.0013   | 0.158  |
| 0.9           | 81.9     | 0.888       | 0.112       | -0.0007   | 0.159  |
| g12/RT(moyen) |          |             |             |           | 0.159  |

Dans le modèle de réseau rigide :

$$\ln \gamma_1 = \ln \frac{\varphi_1}{x_1} + 1 - \frac{\varphi_1}{x_1} + q_1(1 - \xi_1)^2 g_{12}/RT$$

$$\ln \gamma_2 = \ln \frac{\varphi_2}{x_2} + 1 - \frac{\varphi_2}{x_2} + q_2(1 - \xi_2)^2 g_{12}/RT$$

- Calcul de  $p=f(x_1, y_1)$ ,  $P = P_1 + P_2$  avec  $P_1 = P_1^\circ x_1 \gamma_1$  et  $P_2 = P_2^\circ x_2 \gamma_2$ ,  $y_1 = \frac{P_1}{P}$

| x1  | P(Exp)/Pa | $\xi_1$ | $\xi_2$ | $\varphi_1$ | $\varphi_2$ | $\gamma_1$ | $\gamma_2$ | P1/Pa  | P2/Pa   | P(RR)/Pa | Y1   |
|-----|-----------|---------|---------|-------------|-------------|------------|------------|--------|---------|----------|------|
| 0   | 11838     | 0.000   | 1.000   | 0.000       | 1.000       |            | 1.000      | 0.0    | 11838.0 | 11838.0  | 0    |
| 0.1 | 11506     | 0.091   | 0.909   | 0.089       | 0.911       | 1.312      | 1.003      | 809.4  | 10686.3 | 11495.8  | 0.07 |
| 0.2 | 11139     | 0.183   | 0.817   | 0.180       | 0.820       | 1.245      | 1.012      | 1536.0 | 9587.6  | 11123.6  | 0.14 |
| 0.3 | 10737     | 0.278   | 0.722   | 0.274       | 0.726       | 1.187      | 1.029      | 2196.5 | 8524.1  | 10720.6  | 0.20 |
| 0.4 | 10298     | 0.374   | 0.626   | 0.370       | 0.630       | 1.137      | 1.053      | 2806.0 | 7476.9  | 10282.8  | 0.27 |
| 0.5 | 9815      | 0.473   | 0.527   | 0.468       | 0.532       | 1.096      | 1.085      | 3378.8 | 6424.4  | 9803.2   | 0.34 |
| 0.6 | 9378      | 0.574   | 0.426   | 0.569       | 0.431       | 1.062      | 1.128      | 3928.5 | 5342.0  | 9270.5   | 0.42 |
| 0.7 | 8673      | 0.677   | 0.323   | 0.673       | 0.327       | 1.035      | 1.183      | 4468.4 | 4200.1  | 8668.5   | 0.52 |
| 0.8 | 7977      | 0.782   | 0.218   | 0.779       | 0.221       | 1.016      | 1.251      | 5012.0 | 2962.2  | 7974.2   | 0.63 |
| 0.9 | 7158      | 0.890   | 0.110   | 0.888       | 0.112       | 1.004      | 1.336      | 5573.4 | 1582.1  | 7155.5   | 0.78 |
| 1   | 6168      | 1.000   | 0.000   | 1.000       | 0.000       | 1.000      |            | 6168.0 | 0.0     | 6168.0   | 1    |

Le diagramme d'ELV selon le modèle du réseau rigide

